

日本鉄道建設公団 盛岡支社 正員 ○ 横地 紀行  
 同 上 高橋 實  
 オリエンタルコンクリート(株) 正員 大金 彦一

### 1. はじめに

コンクリート連続桁橋を分割施工した場合、各施工段階ごとに、内部応力の変化と、コンクリートの総合差を要因として、クリープによる二次応力が発生する。アレストレストコンクリート鉄道橋において、こうしたクリープによって発生する二次応力の解析には、従来、Dischinger の微分方程式による方法などびく、Whitney の理想曲線による方法が一般的に用いられてきた。その後、H. Rüsch, D. Jungwirth, H. Hildolph などは、構造物の環境条件と、クリープ成分中の遅れ弾性成分を導入することによって、クリープ現象をより明確に表現した。こうした H. Rüsch の提案は、その後、DIN や CEB などを始めとして、各国のコードに採用され、我が国においてもまず道路橋に採用され、続いて、鉄道橋においても昭和 58 年に採用されるに至った。

本報告は、分割施工したコンクリート連続桁橋のクリープによる二次反力を、当公団が施工中の仙台市高速鉄道南北線の真美沢橋りょう（PC 三径間連続桁橋、3@18m = 54m、11連）において実橋計測を行ない、実橋計測値と、本橋設計時点での採用式である Dischinger, Whitney の式、並びに、今回国鉄建造物設計標準に採用された H. Rüsch, D. Jungwirth の式との比較検証を行ない、あわせて、構造物の安全性を確認したりて報告する。

### 2. 実橋計測

計測を実施した真美沢橋りょうは、曲率半径 400m 内の橋長 54m、スパン 18m の三径間連続二主桁 PC 橋で、緊張方式は、S E E E 工法を採用し、ケーブル 1 本当り 190t の緊張力を導入している。また、主桁一本当りには、2 本のケーブルが配置され、施工方法は、インフレクションポイントを施工目標とし、三分割工法を行なった。（Fig-1, Fig-2 参照）

計測項目は、一主桁につき、1 本のケーブル端に、センターホール型ロードセルをセットして行なった緊張力測定と、橋りょう全体をジャッキアップした支点反力測定、及び桁の安全性を確認した、不等沈下支点反力測定である。（Table-1 参照）

### 3. クリープ係数式

#### i) CASE-A<sub>1</sub>

本橋設計に用いた、Dischinger, Whitney の式

$$\varepsilon_s = 1.5 \times 10^{-5}, \phi_0 = 2.0 \quad \phi_t = \phi_0 (1 - e^{-\frac{t}{190}}) \quad t \text{ (日)}$$

#### ii) CASE-A<sub>2</sub>

CASE-A<sub>1</sub> 式のシミュレーション、最終リニア係数を、

58 鉄設のものとし、クリープ進行係数を 80 とした。

$$\varepsilon_s = 2.0 \times 10^{-5}, \phi_0 = 2.6 \quad \phi_t = \phi_0 (1 - e^{-\frac{t}{80}}) \quad t \text{ (日)}$$

#### iii) CASE-B

H. Rüsch の式で、（58 鉄設採用式）

$$\varepsilon_s = 2.0 \times 10^{-5}, \phi_0 = 2.90 \quad (-\text{次施工段階})$$

$$\phi_0 = 2.49 \quad (\text{二、三次施工段階})$$

$$\phi(t, t_0) = \phi_{0,0} \beta_d(t - t_0) + \phi_{f,0} \{ \beta_f(t) - \beta_f(t_0) \}$$

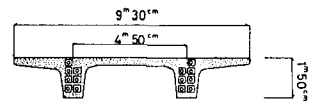


Fig. 1 Cross-Section of the Beam

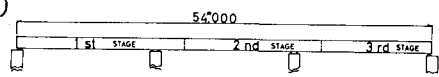


Fig. 2 Side View of the Beam

計測項目	目的	計測頻度
ケーブルの緊張力測定	緊張力の経時変化から桁のクリープ変形挙動を把握する	緊張後 3 日目ごとに 1 回 計 15 回
支点反力測定	実測値と理論値との比較	各施工段階ごとに 計 2 回
不等沈下による支点反力測定	桁の安全性の確認	3 径間完了後 1 回 4 ケースについて

Table-1 Items of the Experiment

#### 4. 計測結果と算出値との比較

Fig-3は、各クリープ係数式を表わしているが、ここで、H.Rüschの式であるCASE-B式が、持続荷重載荷後の経過日数が少ない3週間程度の範囲においては、Dischingerの式であるCASE-A<sub>1</sub>、CASE-A<sub>2</sub>と比較して、クリープ進行度が大きいことが理解できる。

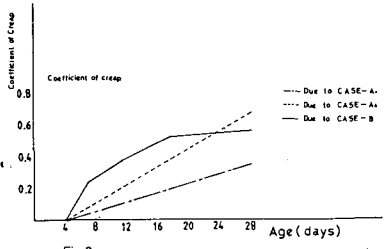


Fig.3 Graphical Sketch of Eq. CASE(A)(A)(B).

Fig-4は、鋼材の見掛けクリラクゼーションを除除して、各クリープ係数式で計算した、鋼材の引張力の経時変化曲線と、ロードセルを介して直読した値をプロットしている。

これによると、計測値は、おおむね、3週間程度までは、破線のCASE-A<sub>2</sub>に近い値を示している。しかし、日数の経過とともに、実線のCASE-BであるH.Rüschの式に近い値を示していることが判る。

Table-2, Table-3は、プレストレス反力を含んだ、各施工段階ごとの、二次反力の実測値であり、Fig-5, Fig-6は、各クリープ係数式で求めた二次反力との比を表わした図である。Fig-5のP<sub>1</sub>, P<sub>3</sub>の値をみると、実測値は、CASE-A<sub>2</sub>に近いと言える。この時点での経過日数は、2週間程度である。Fig-6を見ると、全体的に、実測値は、CASE-Bに近いと言える。この時点での経過日数は、25日程度である。

#### 5. おわりに

今回計測は、短期間であつたため、十分なデータは、得られなかつたものの、結論として以下の事が導かれる。

- ①持続荷重載荷後の経過日数が少ない範囲(3週間程度)においては、Dischingerの式が、実測値より良く一致した。
- ②経過日数の増加とともに、実橋計測値は、H.Rüschの式に近づいて行く。分歧柱今日数は、3週間程度と思われる。

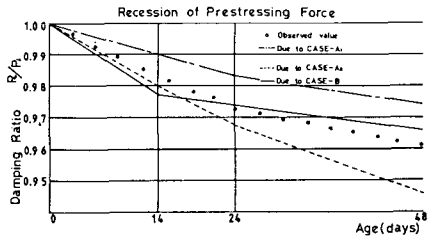


Fig.4 Test Results Compared with Theoretical Values

Unit(ton)	Support Position			
	P <sub>1</sub>	P <sub>2</sub>	P <sub>3</sub>	P <sub>r</sub>
Observed Value	48.2	-74.5	35.0	
CASE-A <sub>1</sub>	36.7	-69.7	33.1	
CASE-A <sub>2</sub>	38.3	-72.7	34.4	
CASE-B	39.9	-76.0	36.1	

Table.2 Secondary Reaction On The Second Stage  
(Including The Prestress-Reaction)

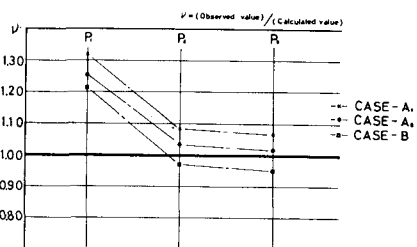


Fig.5 The Ratio of Observed Value to Calculated Value  
(On The Second Stage)

Unit(ton)	Support Position			
	P <sub>1</sub>	P <sub>2</sub>	P <sub>3</sub>	P <sub>r</sub>
Observed Value	33.3	-18.2	-57.7	42.7
CASE-A <sub>1</sub>	29.5	-18.1	-51.1	39.7
CASE-A <sub>2</sub>	33.8	-25.0	-49.9	41.1
CASE-B	33.1	-22.4	-52.8	42.1

Table.3 Secondary Reaction On The Final Stage  
(Including The Prestress-Reaction)

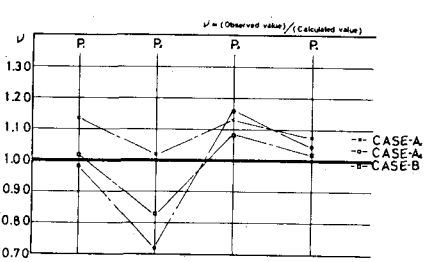


Fig.6 The Ratio of Observed Value to Calculated Value  
(On The Final Stage)

#### 6. 補追

- ① 不等沈下支点反力測定によって得られた、沈下に伴う、反力の変化量は、設計で用いたCASE-A式の算出値の50%程度であった。
- ② 緊張力測定より得られた結果から、今回ウスパン20"程度で、固定端の緊張力は、導入端の84%であり、設計値の77%を上まわった。